

УДК 537.226;538.936;621.315

ISSN 1729-4428

Т.С. Кулай

Про частотну залежність провідності ϵ - Ag_2CdI_4 в далекій інфрачервоній ділянці спектра

Національний університет "Львівська Політехніка",
вул. С. Бандери, 12, м. Львів, 79013, Україна,
e-mail: taras_kulaj@yahoo.co.uk

Досліджено інфрачервоні спектри відбивання і спектри комбінаційного розсіювання світла ϵ - Ag_2CdI_4 в області 20-160 cm^{-1} при кімнатній температурі. Обчислено частотну залежність провідності ϵ - Ag_2CdI_4 при 20-160 cm^{-1} . Встановлено вплив підґратки CdI_4^{2-} ϵ - Ag_2CdI_4 на провідність іонів Ag^+ .

Ключові слова: інфрачервоні спектри відбивання, комбінаційне розсіювання світла, діелектрична проникність, фонони, провідність.

Стаття поступила до редакції 26.05.2006; прийнята до друку 15.03.2007.

Вступ

Твердий електроліт складу Ag_2CdI_4 є єдиною сполукою у системі AgI-CdI_2 , який утворюється при частковому заміщенні іонів Ag^+ класичного суперіоніка AgI неізовалентними катіонами Cd^{2+} . Елементарна комірка ϵ -фази Ag_2CdI_4 утворюється із двох кубічних ґраток α - AgI , у яких два іони Ag^+ заміщуються іоном Cd^{2+} , внаслідок чого формується сполука з тетрагональною сингонією [1,2,4]. Позиції Уайкофа для ϵ - Ag_2CdI_4 наступні: 4(d) Ag^+ , 2(a) Cd^{2+} , 8(i)I. Таке заміщення одночасно приводить до появи стехіометричних вакансій, а оскільки число іонів Ag^+ є меншим від числа кристалографічних позицій, які вони можуть займати, то виконується необхідна умова існування стану з високою іонною провідністю [3,4].

Електричні властивості Ag_2CdI_4 при високих температурах ($T \geq 290$ K) головню визначаються динамікою іонної підсистеми: іони Ag^+ , рухаючись по стехіометричних вакансіях, обумовлюють провідність матеріалу. Фазовий перехід у суперіонний стан у цих матеріалах є розмитим і реалізується у температурному діапазоні 407(2)-532(4) K [4].

Важливим параметром динаміки іонів є відношення часу локалізації іона Ag^+ у конкретному вузлі t_d до часу прольоту між вузлами t_i . Для більшості матеріалів групи A_2MeI_4 ($A = \text{Cu}, \text{Ag}; \text{Me} = \text{Hg}, \text{Zn}$), до яких належить і Ag_2CdI_4 , $t_d \geq t_i$, що дає підставу описувати рух іонів моделлю стрибкової дифузії. Частотна залежність провідності кристала ϵ - Ag_2CdI_4 в далекій ІЧ ділянці у стрибково-дифузійній

моделі описується формулою [5,6]:

$$\sigma(\omega) = \frac{N(Ze)^2}{m} \frac{1}{-i\omega + \Gamma + \frac{\omega_0^2}{-i\omega + \frac{1}{t_i}}}, \quad (1)$$

де N – число зарядів, що міститься в примітивній комірниці, Ze – величина заряду, m – маса мобільної частинки, ω_0 – резонансна частота, t_i – час прольоту між вузлами, Γ – коефіцієнт загасання. Згідно (1), $\sigma(\omega)$ досягає максимального значення коли ω наближується до резонансної частоти ω_0 . При $\omega > \omega_0$ провідність спадає. В такій моделі важливим параметром є частотний фактор, який відображає число спроб перескоку за одну секунду іона Ag^+ з однієї позиції у іншу, а його величина є співмірною з частотами нормальних ґраткових мод [4-6]. З цього випливає, що коливання Ag^+ -підсистеми, які проявляються в далеких ІЧ спектрах відбивання та КРС визначають характер частотної залежності іонної провідності Ag_2CdI_4 . Тому мета даної роботи полягала у встановленні частотної залежності провідності ϵ - Ag_2CdI_4 з далеких інфрачервоних спектрів відбивання та комбінаційного розсіювання.

Зв'язок між інтенсивністю $I_{\text{КРС}}$ КР спектрів і провідністю реалізується через уявну частину діелектричної проникності ϵ_2 [7]:

$$I_{\text{КРС}} = \frac{A\varepsilon_2}{1 - \exp\left(-\frac{h\omega}{kT}\right)}, \quad (2)$$

де A – константа, яка залежить від правил відбору коливань і матричних елементів КРС, які вважаються незалежними від частоти, а ε_2 , своєю чергою, зв'язана з провідністю $\sigma(\omega)$ співвідношенням [7]:

$$\frac{4\pi\sigma(\omega)}{\omega} = \varepsilon_2, \quad (3)$$

З рівнянь (2) і (3) частотну залежність провідності в далекій ІЧ ділянці можна оцінити наступним співвідношенням:

$$\sigma(\omega) \sim \frac{\omega I_{\text{КРС}}}{1 - \exp\left(-\frac{h\omega}{kT}\right)} \quad (4)$$

Однак існує незручність в обчисленні провідності з КРС досліджень, оскільки при визначенні $\sigma(\omega)$ в абсолютних одиницях, пікове значення провідності повинно бути нормалізоване піковим значенням провідності, отриманої з ІЧ спектрів відбивання [7].

Частотну залежність провідності з далеких ІЧ спектрів відбивання можна оцінити із співвідношення [6]:

$$\sigma(\omega) = \varepsilon_0 \omega \text{Im}(\varepsilon(\omega)), \quad (5)$$

де ε_0 – діелектрична постійна, $\varepsilon(\omega)$ – комплексна діелектрична проникність, яка отримувалась із спектрів відбивання за допомогою співвідношень Крамерса-Кроніга [15].

I. Методика експерименту

Досліджувалися масивні зразки $\varepsilon\text{-Ag}_2\text{CdI}_4$, які отримувалися методом твердофазного синтезу. З цією метою дрібнодисперсні порошки AgI та CdI_2 , взяті у стехіометричному відношенні 2:1, перемішувалися та пресувалися при тиску $p \sim 10^9$ Па у циліндричні зразки діаметром 8 мм та товщиною 3–4 мм, які в подальшому відпалювалися при $T \approx 350$ К протягом 240 годин [2]. Методом скануючої електронної мікроскопії встановлено, що при такому синтезі утворюється мікроструктурований матеріал з розміром зерна приблизно від 0.2 до 3 мкм, та добре розвинутою міжзеренковою областю (рис. 1).

Рентгеноструктурний аналіз підтвердив формування тетрагональної фази $\varepsilon\text{-Ag}_2\text{CdI}_4$, параметри ґратки якої рівні $a = b = 6,3338(3)$ Å, $c = 12,6807(9)$ Å. Характер погасання рентгенівських рефлексів дозволяє приписати $\varepsilon\text{-Ag}_2\text{CdI}_4$ до восьми різних просторових груп, найбільш імовірними із яких є просторові групи $S_4^2(I\bar{4})$ та $D_{2d}^{11}(I\bar{4}2m)$, якими володіють ізоструктурні до $\varepsilon\text{-Ag}_2\text{CdI}_4$ тверді електроліти $\beta\text{-}$

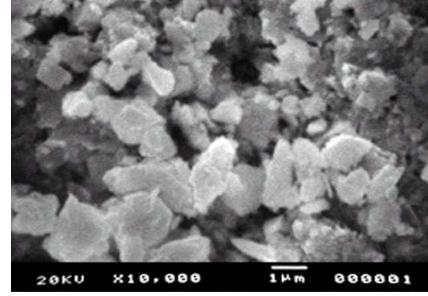


Рис. 1. Зображення поверхні $\varepsilon\text{-Ag}_2\text{CdI}_4$.

Ag_2HgI_4 та $\beta\text{-Cu}_2\text{HgI}_4$, відповідно [4].

Спектри відбивання в ділянці $20\text{-}200\text{ cm}^{-1}$ $\varepsilon\text{-Ag}_2\text{CdI}_4$ вимірювалися при кімнатній температурі у неполяризованому світлі на фур'є-спектрометрі ЛАФС-1000, робочі камери якого відкачувалися до тиску не гірше 10^{-2} мм. рт. ст., що запобігало появі коливних смуг парів води і вуглекислого газу. Спектри КРС в ділянці $10\text{-}1000\text{ cm}^{-1}$ з розділенням $\sim 1\text{ cm}^{-1}$ вимірювалися на установці, змонтованій на базі ДФС-24 при збудженні аргоновим лазером.

II. Результати і обговорення

Примітивна комірка $\varepsilon\text{-Ag}_2\text{CdI}_4$ містить одну формульну одиницю і виконує 18 оптичних коливань [2, 4], однак симетрія коливних мод буде різною для двох ймовірних просторових груп. Теоретико-груповим аналізом показано, що для просторової групи $S_4^2(I\bar{4})$:

$$\Gamma_{\text{опт}} = 3A + 5B + 5E, \quad (6)$$

а для просторової групи $D_{2d}^{11}(I\bar{4}2m)$:

$$\Gamma_{\text{опт}} = 2A_1 + A_2 + 2B_1 + 3B_2 + 5E. \quad (7)$$

Колівні моди A , B , E , A_1 , B_1 , B_2 є КРС активними, а B_2 , B і E – ІЧ активними.

На рис. 2 показані спектри КРС та відбивання $\varepsilon\text{-Ag}_2\text{CdI}_4$ в ділянці $20\text{-}160\text{ cm}^{-1}$ при кімнатній температурі. Спостерігаються смуги в низькочастотній ділянці ($\omega < 50\text{ cm}^{-1}$) та високочастотній ділянці ($\omega > 50\text{ cm}^{-1}$), які пов'язуються з коливаннями Ag-I та CdI_4^{2-} [6-10].

Отримані експериментально частоти добре узгоджуються з результатами інших досліджень. Однак, число мод є неоднаковим у різних авторів [6-10, 13]. Можливі причини появи у спектрах $\varepsilon\text{-Ag}_2\text{CdI}_4$ різного числа смуг можуть бути пов'язані із міжфазними границями у субмікроскопічних структурованих матеріалах. Перш за все атоми на границях розділу мають інше найближче оточення, ніж усередині зерна, що може спричинити появу нових коливних мод. Інтенсивність цих мод, очевидно, залежить від ступеня розвинутості міжзернових границь, яка своєю чергою збільшується із зменшенням розміру зерен, а отже визначається технологією отримання зразків. Далекодійоче поле механічних напружень

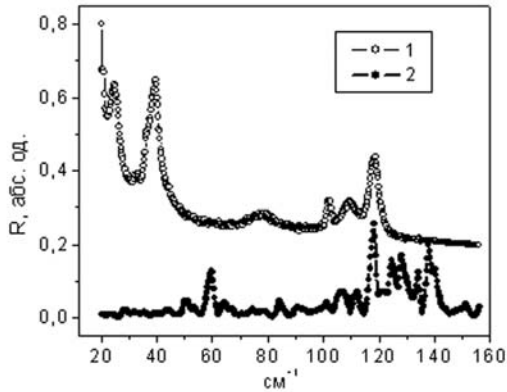


Рис. 2. Спектр КРС (1) та ІЧ спектр відбивання (2) $\epsilon\text{-Ag}_2\text{CdI}_4$ в ділянці 20-160 cm^{-1} .

нерівноважних границь розділу, як відомо, характеризується тензором деформації, компоненти якого є пропорційними до $\gamma^{-1/2}$ (γ – відстань до границі). Це поле спричиняє пружні деформації ґратки, величина яких є максимальною біля границі (при $\gamma \rightarrow 0$), що також може впливати на фононний спектр матеріалу. Крім того, на міжзернових границях можуть локалізуватися включення мікрофази AgI , CdI_2 , адсорбуватися атоми з повітря, тощо. Додатково на границі кристалу порушується трансляційна симетрія, що обумовлює зміну правил відбору. Неврахування цих факторів різними авторами може бути причиною появи у спектрах КРС різного числа коливних мод.

На рис. 2 у спектрі відбивання кристала $\epsilon\text{-Ag}_2\text{CdI}_4$ в низькочастотній області спостерігалися частоти при 45,8; 50,9; 58,7; 64,4 cm^{-1} , а у спектрі КРС при 25; 32,5; 39,5 cm^{-1} . Ці коливання можна ідентифікувати, подібно [6,10,11], як деформаційні коливання Ag-I і CdI_4^{2-} . На рис. 2 у спектрі відбивання смуги з частотами: 45,8; 84,5; 101,3; 136,8 cm^{-1} непогано корелюють з [6]. Появу додаткових смуг у високочастотній області ($\omega > 50 \text{ cm}^{-1}$), у порівнянні з [6], з частотами коливань: 50,9; 58,7; 64,4; 105,7; 111,9; 117,2; 120,1; 123,7; 127,1; 133,7; 151,2 cm^{-1} можна приписати валентним коливанням Ag-I і CdI_4^{2-} . На рис. 2 смуга при 118,7 cm^{-1} кривої (1) і 117,2 cm^{-1} кривої (2) може бути ідентифікована як коливна мода симетрії А складного іонного комплексу CdI_4^{2-} [6,10,11]. Відомо [7-9,12], що ділянка спектра 80-110 cm^{-1} містить переважно коливні моди Ag-I . Тому, розумно припустити, що в $\epsilon\text{-Ag}_2\text{CdI}_4$ більшість смуг в цій області відповідають саме коливним модам Ag-I . Смуга 136,8 cm^{-1} кривої (2) (рис. 2), найбільш вірогідно, відповідає внутрішньому валентному коливанню тетрадричного комплексу CdI_4^{2-} , оскільки, в ІЧ спектрі вільної молекули CdI_4 є активне коливання з частотою 145 cm^{-1} типу симетрії F_2 [11]. Як показано в [13], це коливання розщеплюється в кристалі на мультиплет. У спектрі КРС $\epsilon\text{-Ag}_2\text{CdI}_4$ в ділянці 130-1000 cm^{-1} не спостерігалися коливні моди, що також підтверджено

ІЧ спектром відбивання в ділянці 710-950 cm^{-1} . В роботі [13] у спектрі КРС кристала $\epsilon\text{-Ag}_2\text{CdI}_4$ спостерігалося п'ятнадцять коливних смуг.

Взаємодія рухомих іонів срібла $\epsilon\text{-Ag}_2\text{CdI}_4$ з їх сусідами характеризується частотою, яка спостерігається в далекій ІЧ ділянці спектра. Відношення частоти 25 cm^{-1} $\epsilon\text{-Ag}_2\text{CdI}_4$ (рис. 2, крива (1)) і частоти 36 cm^{-1} Cu_2HgI_4 [14] становить 0,69, а відношення цієї ж частоти і частоти 29 cm^{-1} Cu_2CdI_4 [6] становить 0,86, що приблизно пропорційно до відношення мас міді і срібла – 0,77. Тому коливання при 25 cm^{-1} $\epsilon\text{-Ag}_2\text{CdI}_4$ можна віднести до коливання іонів Ag^+ і пов'язане із середньою величиною квадрату зміщення іонів срібла наступним співвідношенням [14]:

$$m_{\text{Ag}^+} \omega^2 \approx \frac{kT}{\langle u^2 \rangle}, \quad (8)$$

де $\langle u^2 \rangle$ – середня величина квадрату зміщення іонів срібла. При кімнатній температурі і частоті коливань 25 cm^{-1} $\langle u^2 \rangle$ становило $4 \times 10^{-20} \text{ m}^2$. Із симетричних міркувань можна оцінити напрямок руху іонів срібла використовуючи Е і В координати симетрії при трансляційних коливаннях іонів Ag^+ [2]. Е координата відповідає трансляції іонів срібла в площині ху, а В – вздовж осі z. Лінійна комбінація Е і В координат симетрії вказує на коливання катіонів срібла в напрямку чотирьох іонів йоду, що утворюють тетрадр AgI_4^{3-} [2]. Вірогідний напрямок провідності відбувається крізь тетрадр AgI_4^{3-} .

За формулами (2)-(4) обчислено провідність іонів срібла $\epsilon\text{-Ag}_2\text{CdI}_4$, яка зображена на рис. 3. При обчисленні провідності $\epsilon\text{-Ag}_2\text{CdI}_4$ з КРС спектрів брався до уваги вимірний при кімнатній температурі

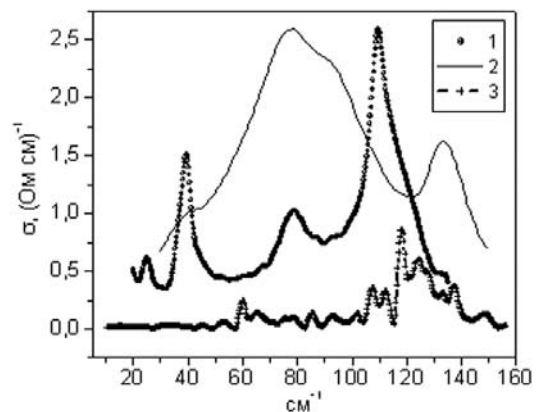


Рис. 3. Частотна залежність провідності $\epsilon\text{-Ag}_2\text{CdI}_4$ в далекій ІЧ ділянці: (1) – обчислена за формулами (2)-(4), (2) – літературна [6], (3) – обчислена за формулою (5).

спектр КРС кристалу $\beta\text{-AgI}$ [7]. При цьому у спектрі КРС $\epsilon\text{-Ag}_2\text{CdI}_4$ згладжувалися ті піки, які не відповідали коливанням підґратки $\beta\text{-AgI}$ [7]. На рис. 3 зображено провідність $\epsilon\text{-Ag}_2\text{CdI}_4$ обчислену з ІЧ спектра відбивання за формулою (5), а також провідність, отриману в роботі [6].

На рис. 3 спостерігається співпадіння по частоті піків кривих (1) і (2) при 45, 78, 92 і 134 см^{-1} , однак форми кривих відрізняються. Крива (3) не містить піка при 45 см^{-1} , однак володіє піками в околі 53, 60, 65, 86, 102, 107, 112, 118, 124, 127, 137 і 149 см^{-1} . Провідність (1) характеризується максимумом при 110 см^{-1} , який можна приписати резонансній частоті коливань іонів срібла у середині потенціальної ями [6]. Крім того спостерігається подібність форми кривої (1) і кривої провідності $\alpha\text{-AgI}$ роботи [5] з максимумом при 105 см^{-1} . На рис. 3 найінтенсивніший пік кривої (3) спостерігається при 118 см^{-1} . З отриманих результатів із врахуванням [5] можна припустити, що літературна крива (2) характеризується сильним впливом підґратки CdI_4^{2-} на провідність $\varepsilon\text{-Ag}_2\text{CdI}_4$, на відміну від кривих (1) і (3), де вплив CdI_4^{2-} є меншим.

мод $\varepsilon\text{-Ag}_2\text{CdI}_4$. Досліджено далекі ІЧ спектри відбивання, а також спектри КРС кристала $\varepsilon\text{-Ag}_2\text{CdI}_4$ при кімнатній температурі. Використовуючи ІЧ спектри відбивання та спектри КРС, обчислено частотну залежність провідності $\varepsilon\text{-Ag}_2\text{CdI}_4$. Встановлено вплив підґратки CdI_4^{2-} на провідність іонів Ag^+ в кристалі $\varepsilon\text{-Ag}_2\text{CdI}_4$, що є причиною зсуву резонансної частоти провідності у менш високочастотну ділянку спектра.

Кулай Т.С. – старший лаборант кафедри інженерного матеріалознавства та прикладної фізики Національного університету “Львівська Політехніка”.

Висновки

Таким чином, у даній роботі проведено порівняльний теоретико-груповий аналіз коливних

- [1] Под ред. М.Б Саломона. *Физика суперионных проводников*. Зинатне, Рига. 315 с. (1982).
- [2] I. Bolesta, O. Futey, S. Velgosh. Crystalline and band energy structure of Ag_2CdI_4 . // *Ukrainian Journal of Physical Optics*, **1**(1), pp. 13-15 (2000).
- [3] І. Карбовник. Електропровідність суперіоніка Ag_2CdI_4 . // *Вісник Львівського університету. Серія фізична*, **34**, с. 21-26 (2001).
- [4] S. Hull, D.A. Keen, P. Berastequi. Structural and superionic properties of Ag^+ -rich ternary phases within the AgI-MI_2 systems. // *J. Phys.: Condens. Matter*, **14**, pp. 13579-13596 (2002).
- [5] P. Brüesch, L. Pietronero, S. Strässler, H.R. Zeller. Frequency dependent conductivity of superionic conductors. // *Electrochimica Acta*, **22**, pp. 717-720 (1977).
- [6] R. Sudharsanan, T. Srinivasan, S. Radhakrishna. Raman and FAR IR studies on Ag_2CdI_4 and Cu_2CdI_4 superionic compounds. // *Solid State Ionics*, **13**, pp. 277-283 (1984).
- [7] G. Burns, F.H. Dacol, M.W. Shafer. Raman measurements of the superionic conductor AgI . // *Solid State Communications*, **19**(4), pp. 291-295 (1976).
- [8] G.L. Bottger, C.V. Damsgard. Raman scattering in wurtzite-type AgI crystals. // *Journal of Chemical Physics*, **57**(3), pp. 1215-1218 (1972).
- [9] R.C. Hanson, T.A. Fjeldly, H.D. Hochheimer. Raman scattering from five phases of silver iodide. // *Phys. Stat. Sol. (B)*, **70**, pp. 567-576 (1975).
- [10] J.E.D. Davies, D.A. Long. The vibrational spectra of the halides of the group IIb elements. Part 1. The vibrational spectra of CdI_3^- , CdBr_2 , CdBr_3^- , CdCl_2 , CdCl_3^- , CdCl_4^{2-} , and MgCl_4^{2-} . // *J. Chem. Soc. (A)*, pp. 2054-2058 (1968).
- [11] К. Накамото. *ИК-спектры и спектры КР неорганических и координационных соединений*. Мир, М. 536 с. (1991).
- [12] M. Peyrard, J.P. Misset. Temperature dependance of phonon linewidth in $\beta\text{-AgI}$. // *Solid State Communications*, **17**, pp. 1487-1491 (1975).
- [13] Т. Кулай. Теоретико-груповий аналіз, спектри КРС та ІЧ спектри відбивання Ag_2CdI_4 . // *Вісник Львівського університету. Серія фізична*, **34**, с. 359-364 (2001).
- [14] J.I. McOmber, D.F. Shriver, M.A. Ratner. Single crystal polarized raman spectra of the solid electrolyte Cu_2HgI_4 ; attempt frequencies for ion motion in Ag_2HgI_4 . // *J. Phys. Chem. Solids*, **43**(9), pp. 895-901 (1982).
- [15] Г.Н. Жижин, Б.Н. Маврин, В.Ф. Шабанов. *Оптические колебательные спектры кристаллов*. Наука, М. 232 с. (1984).

T.S. Kulay

About a Frequency Dependence of Conductivity $\varepsilon\text{-Ag}_2\text{CdI}_4$ in far Infrared Range of Spectrum

*National University "Lvivska Politechnika",
S. Bandery str., 12, 79013, Lviv, Ukraine,
e-mail: taras_kulaj@yahoo.co.uk*

Far IR reflections spectra and Raman spectra of a $\varepsilon\text{-Ag}_2\text{CdI}_4$ at room temperature were investigated. In this article a frequency dependence of conductivity $\varepsilon\text{-Ag}_2\text{CdI}_4$ was counted. Thus influencing of sublattice CdI_4^{2-} on conductivity of ions Ag^+ was studied.